



بینایی کامپیوتری

درس ۵

فیلتر کردن در حوزه‌ی مکان

Spatial Filtering

کاظم فولادی

دانشکده مهندسی، پردیس فارابی

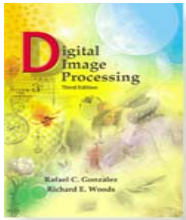
دانشگاه تهران

<http://courses.fouladi.ir/vision>

فیلتر کردن در حوزه‌ی مکان

۱

مبانی فیلتر کردن مکانی



Digital Image Processing, 3rd ed.

Gonzalez & Woods

www.ImageProcessingPlace.com

Chapter 3

Intensity Transformations & Spatial Filtering

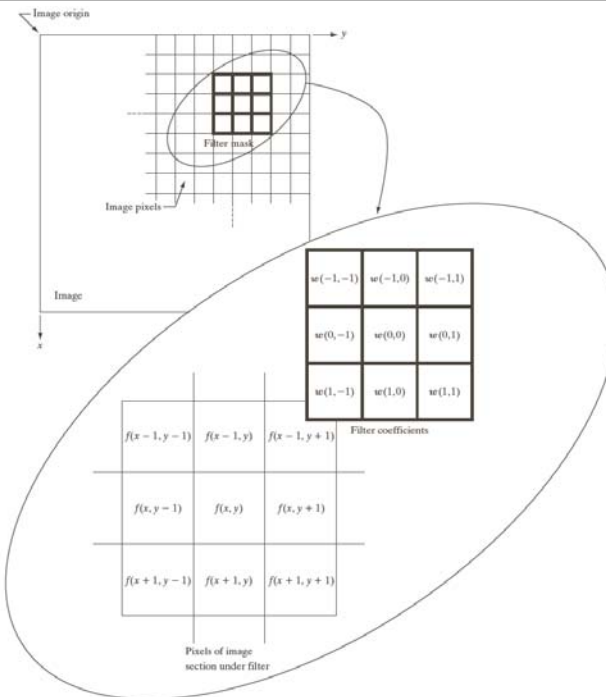
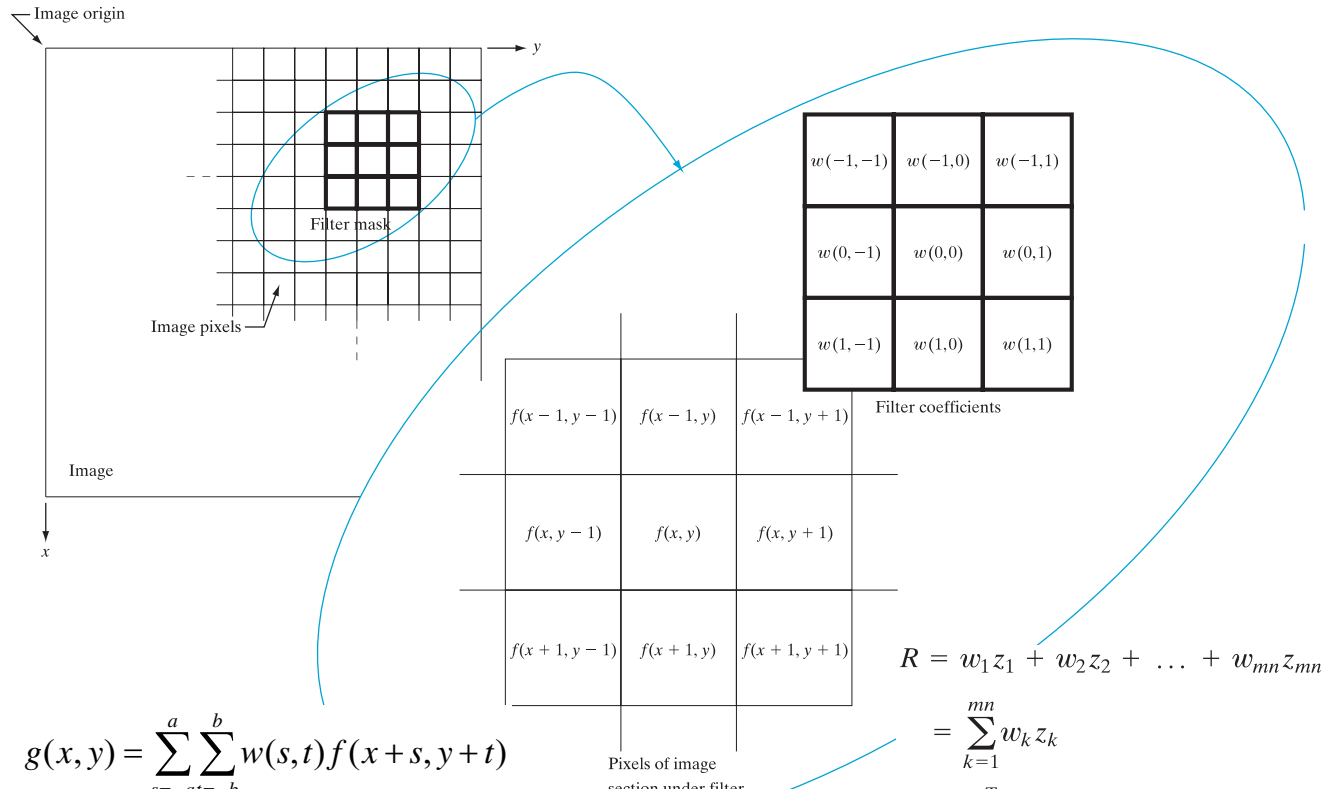


FIGURE 3.28 The mechanics of linear spatial filtering using a 3×3 filter mask. The form chosen to denote the coordinates of the filter mask coefficients simplifies writing expressions for linear filtering.

مبانی فیلتر کردن مکانی

فیلترینگ مکانی خطی

BASICS OF SPATIAL FILTERING



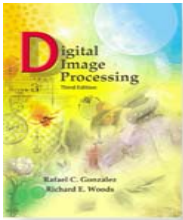
مبانی فیلتر کردن مکانی

BASICS OF SPATIAL FILTERING

فیلترینگ مکانی غیرخطی نیز معمولاً از یک همسایگی استفاده می‌کند،
اما برخی عملیات ریاضی دیگر استفاده می‌شوند.

(شامل دستورات شرطی، آماری (مرتب‌سازی مقادیر پیکسل در همسایگی و ...) و ...)

از آنجا که همسایگی شامل پیکسل‌هایی در همه‌ی اطراف پیکسل مرکزی است،
برخی روال‌های بخصوص باید برای
اطراف بالا، پایین، چپ و راست تصویر استفاده شود
تا فرآیند تلاش نکند با پیکسل‌هایی که وجود ندارند، کار کند.
(تکنیک‌هایی مثل padding)



Digital Image Processing, 3rd ed.

Gonzalez & Woods

www.ImageProcessingPlace.com

Chapter 3

Intensity Transformations & Spatial Filtering

	Correlation	Convolution
(a)	f $\begin{matrix} 0 & 0 & 0 & 1 & 0 & 0 & 0 & 0 \\ 1 & 2 & 3 & 2 & 8 \end{matrix}$	w $\begin{matrix} 0 & 0 & 0 & 1 & 0 & 0 & 0 \\ 8 & 2 & 3 & 2 & 1 \end{matrix}$
(b)	f $\begin{matrix} 0 & 0 & 0 & 1 & 0 & 0 & 0 & 0 \\ 1 & 2 & 3 & 2 & 8 \end{matrix}$	w rotated 180° $\begin{matrix} 0 & 0 & 0 & 1 & 0 & 0 & 0 & 0 \\ 8 & 2 & 3 & 2 & 1 \end{matrix}$
	Starting position alignment	
(c)	f $\begin{matrix} 0 & 0 & 0 & 0 & 0 & 0 & 0 & 1 & 0 & 0 & 0 & 0 & 0 & 0 & 0 & 0 \\ 1 & 2 & 3 & 2 & 8 \end{matrix}$	w rotated 180° $\begin{matrix} 0 & 0 & 0 & 0 & 0 & 0 & 0 & 0 & 1 & 0 & 0 & 0 & 0 & 0 & 0 & 0 \\ 8 & 2 & 3 & 2 & 1 \end{matrix}$
	Zero padding	
(d)	f $\begin{matrix} 0 & 0 & 0 & 0 & 0 & 0 & 0 & 1 & 0 & 0 & 0 & 0 & 0 & 0 & 0 & 0 \\ 1 & 2 & 3 & 2 & 8 \end{matrix}$	w rotated 180° $\begin{matrix} 0 & 0 & 0 & 0 & 0 & 0 & 0 & 0 & 1 & 0 & 0 & 0 & 0 & 0 & 0 & 0 \\ 8 & 2 & 3 & 2 & 1 \end{matrix}$
	Position after one shift	
(e)	f $\begin{matrix} 0 & 0 & 0 & 0 & 0 & 0 & 0 & 0 & 1 & 0 & 0 & 0 & 0 & 0 & 0 & 0 & 0 \\ 1 & 2 & 3 & 2 & 8 \end{matrix}$	w rotated 180° $\begin{matrix} 0 & 0 & 0 & 0 & 0 & 0 & 0 & 0 & 1 & 0 & 0 & 0 & 0 & 0 & 0 & 0 & 0 \\ 8 & 2 & 3 & 2 & 1 \end{matrix}$
	Position after four shifts	
(f)	f $\begin{matrix} 0 & 0 & 0 & 0 & 0 & 0 & 0 & 0 & 1 & 0 & 0 & 0 & 0 & 0 & 0 & 0 & 0 \\ 1 & 2 & 3 & 2 & 8 \end{matrix}$	w rotated 180° $\begin{matrix} 0 & 0 & 0 & 0 & 0 & 0 & 0 & 0 & 1 & 0 & 0 & 0 & 0 & 0 & 0 & 0 & 0 \\ 8 & 2 & 3 & 2 & 1 \end{matrix}$
	Final position	
(g)	Full correlation result $\begin{matrix} 0 & 0 & 0 & 8 & 2 & 3 & 2 & 1 & 0 & 0 & 0 & 0 \end{matrix}$	Full convolution result $\begin{matrix} 0 & 0 & 0 & 1 & 2 & 3 & 2 & 8 & 0 & 0 & 0 & 0 \end{matrix}$
(h)	Cropped correlation result $\begin{matrix} 0 & 8 & 2 & 3 & 2 & 1 & 0 & 0 \end{matrix}$	Cropped convolution result $\begin{matrix} 0 & 1 & 2 & 3 & 2 & 8 & 0 & 0 \end{matrix}$

FIGURE 3.29 Illustration of 1-D correlation and convolution of a filter with a discrete unit impulse. Note that correlation and convolution are functions of *displacement*.

مبانی فیلتر کردن فضایی

کانولوشن و همبستگی: یک بعدی

همبستگی

Correlation

$$w(x, y) \star f(x, y) = \sum_{q=-a}^s \sum_{p=-b}^t w(s, t) f(x + s, y + t)$$

Correlation

- (a) Origin f w
 $\begin{matrix} 0 & 0 & 0 & 1 & 0 & 0 & 0 \\ 1 & 2 & 3 & 2 & 8 \end{matrix}$
- (b) \downarrow
 $\begin{matrix} 0 & 0 & 0 & 1 & 0 & 0 & 0 \\ 1 & 2 & 3 & 2 & 8 \end{matrix}$
 Starting position alignment
- (c) Zero padding
 $\begin{matrix} 0 & 0 & 0 & 0 & 0 & 0 & 0 & 1 & 0 & 0 & 0 & 0 & 0 & 0 & 0 \\ 1 & 2 & 3 & 2 & 8 \end{matrix}$
- (d) Position after one shift
 $\begin{matrix} 0 & 0 & 0 & 0 & 0 & 0 & 0 & 1 & 0 & 0 & 0 & 0 & 0 & 0 & 0 \\ 1 & 2 & 3 & 2 & 8 \end{matrix}$
- (e) Position after four shifts
 $\begin{matrix} 0 & 0 & 0 & 0 & 0 & 0 & 0 & 1 & 0 & 0 & 0 & 0 & 0 & 0 & 0 \\ 1 & 2 & 3 & 2 & 8 \end{matrix}$
- (f) Final position
 $\begin{matrix} 0 & 0 & 0 & 0 & 0 & 0 & 0 & 1 & 0 & 0 & 0 & 0 & 0 & 0 & 0 \\ 1 & 2 & 3 & 2 & 8 \end{matrix}$
- (g) Full correlation result
 $\begin{matrix} 0 & 0 & 0 & 8 & 2 & 3 & 2 & 1 & 0 & 0 & 0 & 0 \end{matrix}$
- (h) Cropped correlation result
 $\begin{matrix} 0 & 8 & 2 & 3 & 2 & 1 & 0 & 0 \end{matrix}$

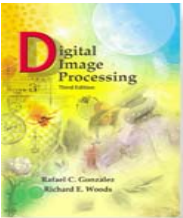
Convolution

- (i) Origin f w rotated 180°
 $\begin{matrix} 0 & 0 & 0 & 1 & 0 & 0 & 0 \\ 8 & 2 & 3 & 2 & 1 \end{matrix}$
- (j) $\begin{matrix} 0 & 0 & 0 & 1 & 0 & 0 & 0 & 0 \\ 8 & 2 & 3 & 2 & 1 \end{matrix}$
- (k) $\begin{matrix} 0 & 0 & 0 & 0 & 0 & 0 & 0 & 0 & 1 & 0 & 0 & 0 & 0 & 0 & 0 & 0 & 0 \\ 8 & 2 & 3 & 2 & 1 \end{matrix}$
- (l) $\begin{matrix} 0 & 0 & 0 & 0 & 0 & 0 & 0 & 0 & 1 & 0 & 0 & 0 & 0 & 0 & 0 & 0 & 0 \\ 8 & 2 & 3 & 2 & 1 \end{matrix}$
- (m) $\begin{matrix} 0 & 0 & 0 & 0 & 0 & 0 & 0 & 0 & 1 & 0 & 0 & 0 & 0 & 0 & 0 & 0 & 0 \\ 8 & 2 & 3 & 2 & 1 \end{matrix}$
- (n) $\begin{matrix} 0 & 0 & 0 & 0 & 0 & 0 & 0 & 0 & 1 & 0 & 0 & 0 & 0 & 0 & 0 & 0 & 0 \\ 8 & 2 & 3 & 2 & 1 \end{matrix}$
- (o) Full convolution result
 $\begin{matrix} 0 & 0 & 0 & 1 & 2 & 3 & 2 & 8 & 0 & 0 & 0 & 0 \end{matrix}$
- (p) Cropped convolution result
 $\begin{matrix} 0 & 1 & 2 & 3 & 2 & 8 & 0 & 0 \end{matrix}$

کانولوشن

Convolution

$$w(x, y) \star f(x, y) = \sum_{s=-a}^s \sum_{t=-b}^t w(s, t) f(x - s, y - t)$$



Digital Image Processing, 3rd ed.

Gonzalez & Woods

www.ImageProcessingPlace.com

Chapter 3

Intensity Transformations & Spatial Filtering

		Padded f			
\swarrow Origin $f(x, y)$		0 0			
(a)		0 0 0 0 0 0 0 0 0 0 0 0 0 0 1 0		(b)	
\swarrow Initial position for w		Full correlation result		Cropped correlation result	
(c)		0 0		0 0 0 0 0 0 0 0 0 0 0 9 8 7 0 0 0 0 0 0 0 6 5 4 0 0 0 0 0 0 0 3 2 1 0	(d)
\swarrow Rotated w		Full convolution result		Cropped convolution result	
(f)		0 0		0 0 0 0 0 0 0 0 0 0 0 1 2 3 0 0 0 0 0 0 0 4 5 6 0 0 0 0 0 0 0 7 8 9 0	(g)
(e)					(h)

FIGURE 3.30
Correlation
(middle row) and
convolution (last
row) of a 2-D
filter with a 2-D
discrete, unit
impulse. The 0s
are shown in gray
to simplify visual
analysis.

مبانی فیلتر کردن مکانی

کانولوشن و همبستگی: دو بعدی

Origin $f(x, y)$

0	0	0	0	0
0	0	0	0	0
0	0	1	0	0
0	0	0	0	0
0	0	0	0	0

(a)

Initial position for w

123	000000
456	000000
789	000000
0000000000	
0000	1 0 0 0 0 0 0
0	0 0 0 0 0 0 0 0 0
0	0 0 0 0 0 0 0 0 0
0	0 0 0 0 0 0 0 0 0
0	0 0 0 0 0 0 0 0 0

(c)

Rotated w

987	000000
654	000000
321	000000
0000000000	
0000	1 0 0 0 0 0 0 0
0	0 0 0 0 0 0 0 0 0
0	0 0 0 0 0 0 0 0 0
0	0 0 0 0 0 0 0 0 0

(f)

Padded f

0	0	0	0	0	0	0	0	0	0
0	0	0	0	0	0	0	0	0	0
0	0	0	0	0	0	0	0	0	0
0	0	0	0	0	0	0	0	0	0
0	0	0	0	0	0	0	0	0	0
0	0	0	0	0	0	0	0	0	0
0	0	0	0	0	0	0	0	0	0
0	0	0	0	0	0	0	0	0	0
0	0	0	0	0	0	0	0	0	0
0	0	0	0	0	0	0	0	0	0

(b)

Full correlation result

0000000000
0000000000
0000000000
000 987 000
000 654 000

(d)

Full convolution result

0000000000
0 0 0 0 0 0 0 0 0
0 0 0 0 0 0 0 0 0
0 0 0 1 2 3 0 0 0
0 0 0 4 5 6 0 0 0

(g)

Cropped correlation result

0 0 0 0 0 0
0 9 8 7 0
0 6 5 4 0
0 3 2 1 0
0 0 0 0 0

(e)

Cropped convolution result

0 0 0 0 0 0
0 1 2 3 0
0 4 5 6 0
0 7 8 9 0
0 0 0 0 0

(h)

همبستگی

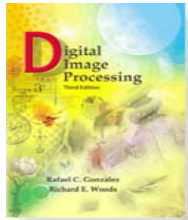
Correlation

$$w(x, y) \star f(x, y) = \sum_{s=-a}^a \sum_{t=-b}^b w(s, t)f(x + s, y + t)$$

کانولوشن

Convolution

$$w(x, y) \star f(x, y) = \sum_{s=-a}^a \sum_{t=-b}^b w(s, t)f(x - s, y - t)$$



Digital Image Processing, 3rd ed.

Gonzalez & Woods

www.ImageProcessingPlace.com

Chapter 3

Intensity Transformations & Spatial Filtering

w_1	w_2	w_3
w_4	w_5	w_6
w_7	w_8	w_9

FIGURE 3.31

Another representation of a general 3×3 filter mask.

مبانی فیلتر کردن مکانی

BASICS OF SPATIAL FILTERING

w_1	w_2	w_3
w_4	w_5	w_6
w_7	w_8	w_9

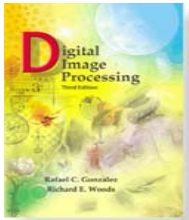
Another representation of a general 3×3 filter mask.

$$\begin{aligned}
 R &= w_1 z_1 + w_2 z_2 + \dots + w_9 z_9 \\
 &= \sum_{k=1}^9 w_k z_k \\
 &= \mathbf{w}^T \mathbf{z}
 \end{aligned}$$

فیلتر کردن در حوزه‌ی مکان

۲

فیلترهای مکانی هموارکننده



Digital Image Processing, 3rd ed.

Gonzalez & Woods

www.ImageProcessingPlace.com

Chapter 3

Intensity Transformations & Spatial Filtering

$$\frac{1}{9} \times \begin{array}{|c|c|c|} \hline 1 & 1 & 1 \\ \hline 1 & 1 & 1 \\ \hline 1 & 1 & 1 \\ \hline \end{array}$$

$$\frac{1}{16} \times \begin{array}{|c|c|c|} \hline 1 & 2 & 1 \\ \hline 2 & 4 & 2 \\ \hline 1 & 2 & 1 \\ \hline \end{array}$$

a b

FIGURE 3.32 Two 3×3 smoothing (averaging) filter masks. The constant multiplier in front of each mask is equal to 1 divided by the sum of the values of its coefficients, as is required to compute an average.

فیلترهای مکانی هموارکننده

SMOOTHING SPATIAL FILTERS

فیلترهای خطی هموارکننده *Smoothing Linear Filters*

فیلترهای متوسطگیری (پایین‌گذر) *Averaging Filters (Lowpass)*

فیلتر متوسط گیری وزن دار *Weighted Average Filter*

فیلتر چهارگوش *Box Filter*

1	2	1
2	4	2
1	2	1

$\frac{1}{16} \times$

1	1	1
1	1	1
1	1	1

$\frac{1}{9} \times$

مقدار ضریب ثابت: معکوس مجموع ضرایب موجود در ماسک

فیلترهای مکانی هموارکننده

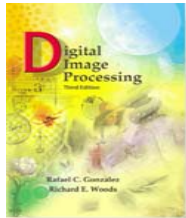
فیلتر متوسطگیری وزن دار

SMOOTHING SPATIAL FILTERS

پیاده سازی عمومی برای فیلتر کردن یک تصویر $M \times N$
با یک فیلتر متوسطگیری وزن دار با اندازه $m \times n$

$$g(x, y) = \frac{\sum_{s=-at=-b}^a \sum_{t=-b}^b w(s, t) f(x + s, y + t)}{\sum_{s=-at=-b}^a \sum_{t=-b}^b w(s, t)}$$

$$a = \frac{m-1}{2} \quad b = \frac{n-1}{2}$$



Digital Image Processing, 3rd ed.

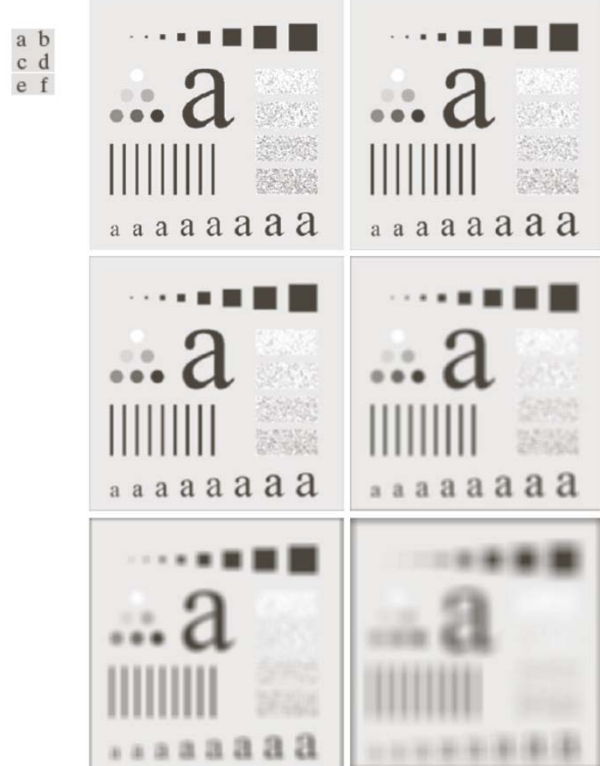
Gonzalez & Woods

www.ImageProcessingPlace.com

Chapter 3

Intensity Transformations & Spatial Filtering

FIGURE 3.33 (a) Original image, of size 500×500 pixels. (b)–(f) Results of smoothing with square averaging filter masks of sizes $m = 3, 5, 9, 15, 25$, and 35 , respectively. The black squares at the top are of sizes $3, 5, 9, 15, 25, 35, 45$, and 55 pixels, respectively; their borders are 25 pixels apart. The letters at the bottom range in size from 10 to 24 points, in increments of 2 points; the large letter at the top is 60 points. The vertical bars are 5 pixels wide and 100 pixels high; their separation is 20 pixels. The diameter of the circles is 25 pixels, and their borders are 15 pixels apart; their intensity levels range from 0% to 100% black in increments of 20% . The background of the image is 10% black. The noisy rectangles are of size 50×120 pixels.

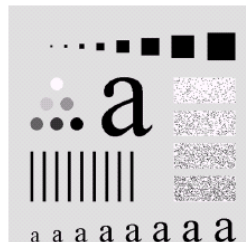


فیلترهای مکانی هموارکننده

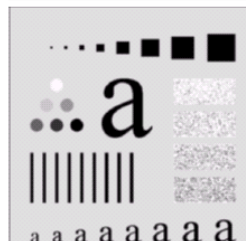
هموارسازی تصویر با ماسکهای دارای اندازه‌ی گوناگون: مثال

SMOOTHING SPATIAL FILTERS

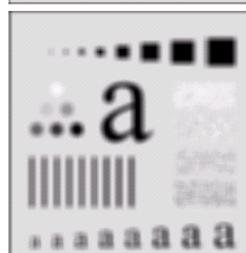
(۱) تصویر اصلی با اندازه‌ی 500×500



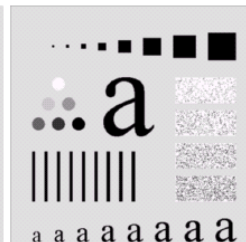
(۲) هموارسازی با فیلتر متوسطگیری مربعی با اندازه‌ی ماسک $m = 3$



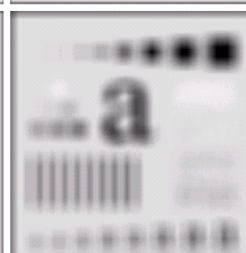
(۳) هموارسازی با فیلتر متوسطگیری مربعی با اندازه‌ی ماسک $m = 5$



(۴) هموارسازی با فیلتر متوسطگیری مربعی با اندازه‌ی ماسک $m = 9$



(۵) هموارسازی با فیلتر متوسطگیری مربعی با اندازه‌ی ماسک $m = 15$

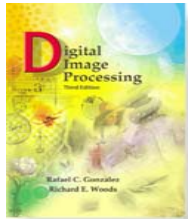


(۶) هموارسازی با فیلتر متوسطگیری مربعی با اندازه‌ی ماسک $m = 35$

(۷) هموارسازی با فیلتر متوسطگیری مربعی با اندازه‌ی ماسک $m = 3$

(۸) هموارسازی با فیلتر متوسطگیری مربعی با اندازه‌ی ماسک $m = 9$

(۹) هموارسازی با فیلتر متوسطگیری مربعی با اندازه‌ی ماسک $m = 35$



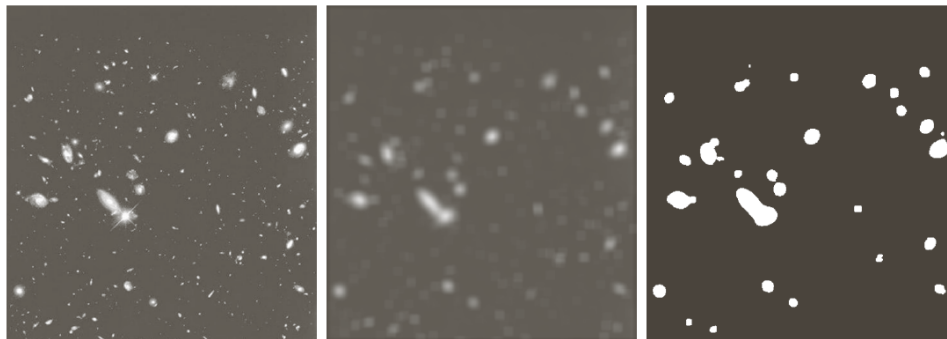
Digital Image Processing, 3rd ed.

Gonzalez & Woods

www.ImageProcessingPlace.com

Chapter 3

Intensity Transformations & Spatial Filtering



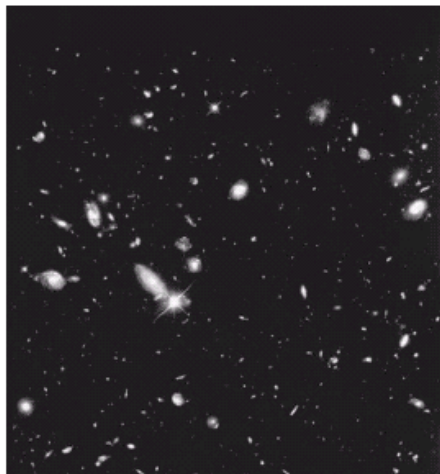
a b c

FIGURE 3.34 (a) Image of size 528×485 pixels from the Hubble Space Telescope. (b) Image filtered with a 15×15 averaging mask. (c) Result of thresholding (b). (Original image courtesy of NASA.)

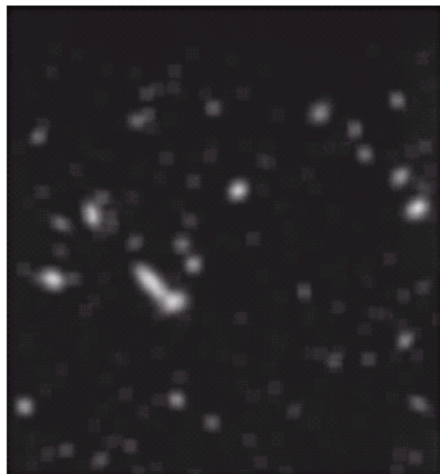
فیلترهای مکانی هموارکننده

هموارسازی تصویر با ماسکهای دارای اندازه‌ی گوناگون: مثال

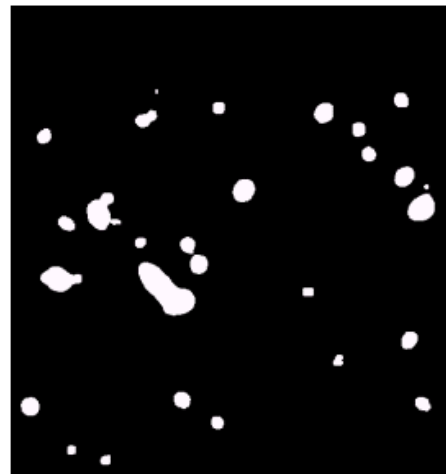
SMOOTHING SPATIAL FILTERS



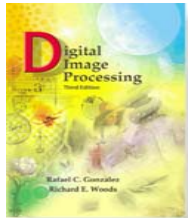
(۱)
تصویر اصلی با اندازه‌ی
۵۲۸ × ۴۸۵
از تلسکوپ هابل



(۲)
هموارسازی با فیلتر متوسطگیری مربعی
با اندازه‌ی ماسک $m = 15$



(۳)
نتیجه پس از آستانه‌گیری



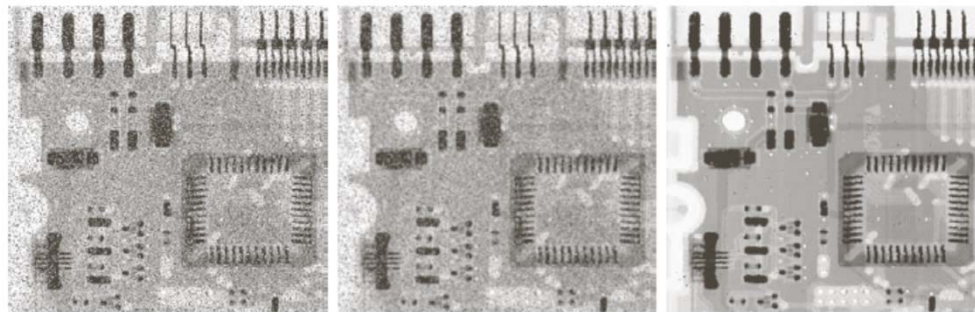
Digital Image Processing, 3rd ed.

Gonzalez & Woods

www.ImageProcessingPlace.com

Chapter 3

Intensity Transformations & Spatial Filtering



a b c

FIGURE 3.35 (a) X-ray image of circuit board corrupted by salt-and-pepper noise. (b) Noise reduction with a 3×3 averaging mask. (c) Noise reduction with a 3×3 median filter. (Original image courtesy of Mr. Joseph E. Pascente, Lixi, Inc.)

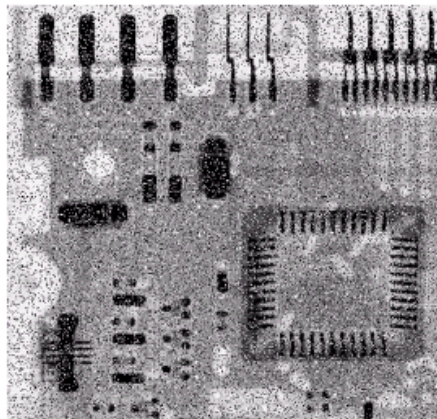
فیلترهای آماره-ترنیبی

ORDER-STATISTIC FILTERS

فیلتر میانه

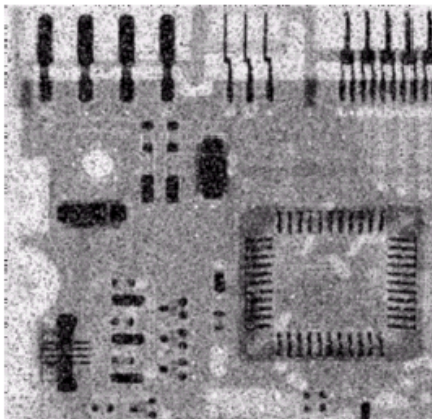
Median Filter

برای کاهش نویز خربه‌ای (نویز فلفل-نمکی : *salt-and-pepper noise*)



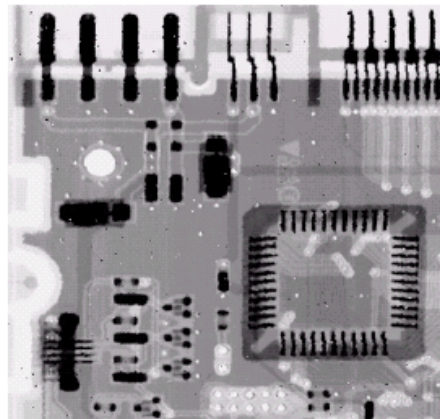
(۱)

تصویر اصلی اشعه ایکس از یک مدار چاپی
که با نویز فلفل-نمکی تخریب شده است.



(۲)

کاهش نویز با فیلتر متوسطگیری مربعی
با اندازه‌ی ماسک $m = 3$



(۳)

کاهش نویز با فیلتر میانه مربعی
با اندازه‌ی ماسک $m = 3$

فیلتر کردن در حوزه‌ی مکان

۳

فیلترهای مکانی تیزکننده

فیلترهای مکانی تیز کننده

SHARPENING SPATIAL FILTERS

فیلترهای خطی تیز کننده

Sharpening Linear Filters

فیلترهای مشتق‌گیری (بالاگذر)

Derivative Filters (Highpass)

مشتق مرتبه دوم

Second-Order Derivative

مشتق مرتبه اول

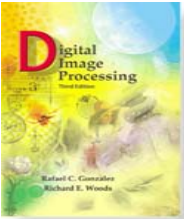
First-Order Derivative

$$\frac{\partial^2 f}{\partial x^2} = f(x+1) + f(x-1) - 2f(x)$$

$$\frac{\partial f}{\partial x} = f(x+1) - f(x)$$

(برای تابع یک بعدی ($f(x)$)

فیلترهای تیز کننده مبتنی بر محاسبهٔ مشتقهای مکانی یک تصویر هستند.



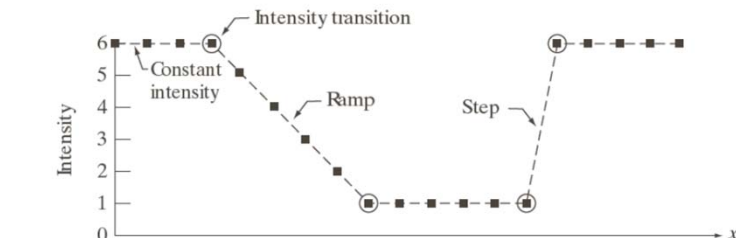
Digital Image Processing, 3rd ed.

Gonzalez & Woods

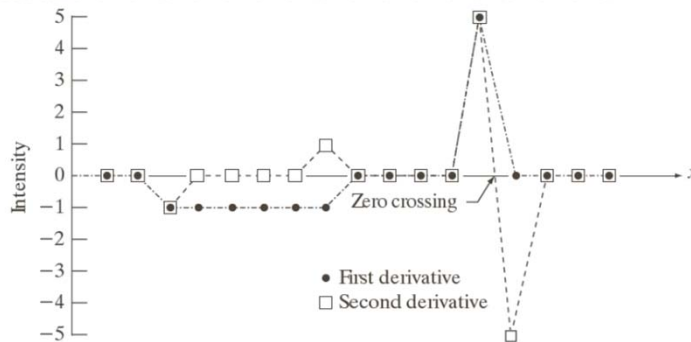
www.ImageProcessingPlace.com

Chapter 3

Intensity Transformations & Spatial Filtering



Scan line	6	6	6	6	5	4	3	2	1	1	1	1	1	1	1	6	6	6	6	6	x
1st derivative	0	0	-1	-1	-1	-1	-1	0	0	0	0	0	0	0	5	0	0	0	0	0	
2nd derivative	0	0	-1	0	0	0	0	1	0	0	0	0	0	0	5	-5	0	0	0	0	



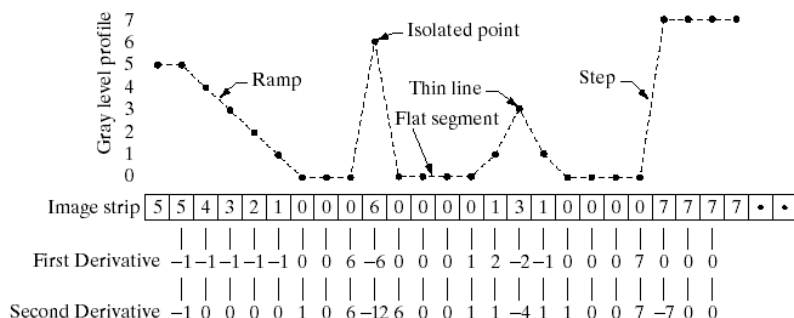
a
b
c

FIGURE 3.36
Illustration of the first and second derivatives of a 1-D digital function representing a section of a horizontal intensity profile from an image. In (a) and (c) data points are joined by dashed lines as a visualization aid.

فیلترهای مکانی تیز کننده

مثال

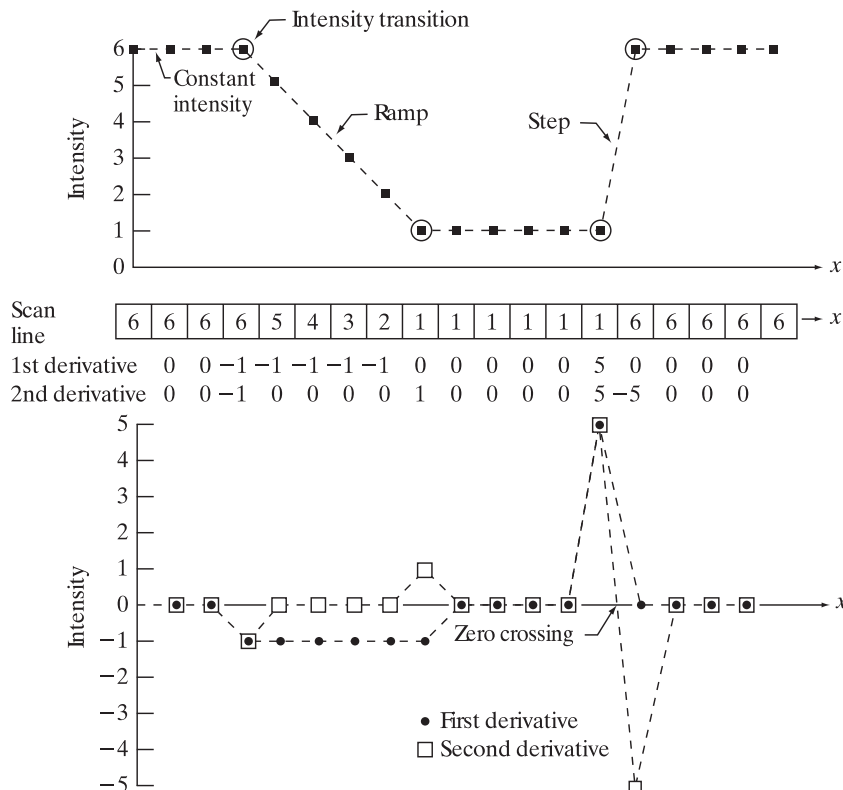
SHARPENING SPATIAL FILTERS



فیلترهای مکانی تیز کننده

مثال

SHARPENING SPATIAL FILTERS



a
b
c

Illustration of the first and second derivatives of a 1-D digital function representing a section of a horizontal intensity profile from an image. In (a) and (c) data points are joined by dashed lines as a visualization aid.

فیلترهای مکانی تیز کننده

استفاده از مشتقات دوم برای بهسازی: لاپلاسین

USE OF SECOND DERIVATIVES FOR ENHANCEMENT: THE LAPLACIAN

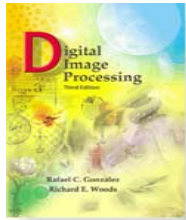
عملگر لاپلاسین دو بعدی برای توابع پیوسته:

$$\nabla^2 f = \frac{\partial^2 f}{\partial x^2} + \frac{\partial^2 f}{\partial y^2}$$

لاپلاسین یک عملگر خطی است.

$$\begin{cases} \frac{\partial^2 f}{\partial x^2} = f(x+1, y) + f(x-1, y) - 2f(x, y) \\ \frac{\partial^2 f}{\partial y^2} = f(x, y+1) + f(x, y-1) - 2f(x, y) \end{cases} \Rightarrow$$

$$\nabla^2 f = [f(x+1, y) + f(x-1, y) + f(x, y+1) + f(x, y-1)] - 4f(x)$$



Digital Image Processing, 3rd ed.

Gonzalez & Woods

www.ImageProcessingPlace.com

Chapter 3

Intensity Transformations & Spatial Filtering

0	1	0	1	1	1
1	-4	1	1	-8	1
0	1	0	1	1	1
0	-1	0	-1	-1	-1
-1	4	-1	-1	8	-1
0	-1	0	-1	-1	-1

a
b
c
d

FIGURE 3.37

- (a) Filter mask used to implement Eq. (3.6-6).
(b) Mask used to implement an extension of this equation that includes the diagonal terms.
(c) and (d) Two other implementations of the Laplacian found frequently in practice.

فیلترهای مکانی تیز کننده

استفاده از مشتقات دوم برای بهسازی: لaplاسین

USE OF SECOND DERIVATIVES FOR ENHANCEMENT: THE LAPLACIAN

(۱) ماسک فیلتر مورد استفاده برای پیاده‌سازی لaplاسین

$$\nabla^2 f = [f(x+1, y) + f(x-1, y) + f(x, y+1) + f(x, y-1)] - 4f(x)$$

0	1	0
1	-4	1
0	1	0

(۲) ماسک مورد استفاده برای پیاده‌سازی یک گسترش از معادله لaplاسین که جملات قطری را هم شامل می‌شود.

(۳) یک پیاده‌سازی از لaplاسین که در کاربردهای عملی زیاد دیده می‌شود.

0	-1	0
-1	4	-1
0	-1	0

(۴) یک پیاده‌سازی دیگر از لaplاسین که در کاربردهای عملی زیاد دیده می‌شود.

1	1	1
1	-8	1
1	1	1

-1	-1	-1
-1	8	-1
-1	-1	-1

فیلترهای مکانی تیز کننده

استفاده از مشتقات دوم برای بهسازی: لاپلاسین

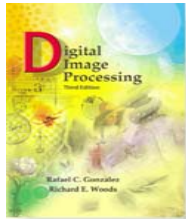
USE OF SECOND DERIVATIVES FOR ENHANCEMENT: THE LAPLACIAN

برای تیز کردن یک تصویر،
لاپلاسین تصویر، از تصویر اصلی **تفريق** می شود.

$$g(x, y) = \begin{cases} f(x, y) - \nabla^2 f & \text{if the center coefficient of the Laplacian mask is negative.} \\ f(x, y) + \nabla^2 f & \text{if the center coefficient of the Laplacian mask is positive.} \end{cases}$$

حالت عمومی تر:

$$g(x, y) = f(x, y) + c[\nabla^2 f(x, y)]$$



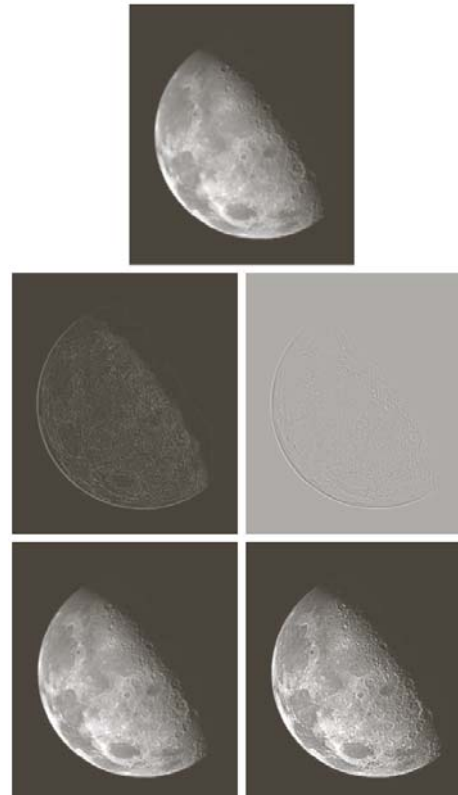
Digital Image Processing, 3rd ed.

Gonzalez & Woods

www.ImageProcessingPlace.com

Chapter 3

Intensity Transformations & Spatial Filtering



a
b c
d e

FIGURE 3.38

(a) Blurred image of the North Pole of the moon.
(b) Laplacian without scaling.
(c) Laplacian with scaling.
(d) Image sharpened using the mask in Fig. 3.37(a).
(e) Result of using the mask in Fig. 3.37(b).
(Original image courtesy of NASA.)

فیلترهای مکانی تیز کننده

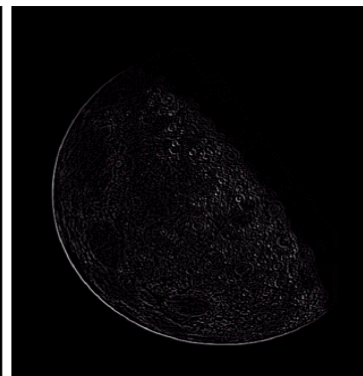
استفاده از مشتقات دوم برای بهسازی: لاپلاسین

USE OF SECOND DERIVATIVES FOR ENHANCEMENT: THE LAPLACIAN

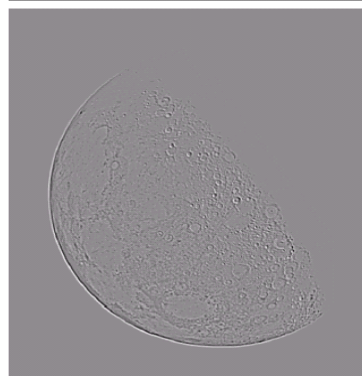
(۱)
تصویر مات شده (Blurred)
از قطب شمال ماه



(۲)
لاپلاسین بدون مقیاسدهی



(۳)
لاپلاسین با مقیاسدهی



(۴)
تصویر تیز شده با ماسک

0	1	0
1	-4	1
0	1	0

فیلترهای مکانی تیز کننده

استفاده از مشتقات دوم برای بهسازی: لاپلاسین: ساده‌سازی

USE OF SECOND DERIVATIVES FOR ENHANCEMENT: THE LAPLACIAN: SIMPLIFICATIONS

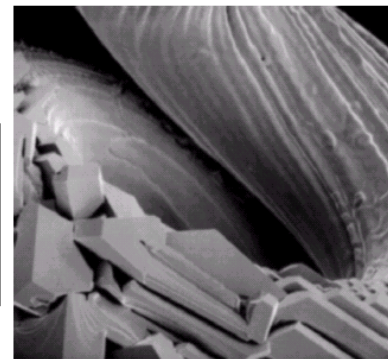
(۱)
ماسک
لاپلاسین مرکب

0	-1	0
-1	5	-1
0	-1	0

$$g(x, y) = f(x, y) + c[\nabla^2 f(x, y)]$$

(۲) یک
ماسک دیگر برای
لاپلاسین مرکب

-1	-1	-1
-1	9	-1
-1	-1	-1

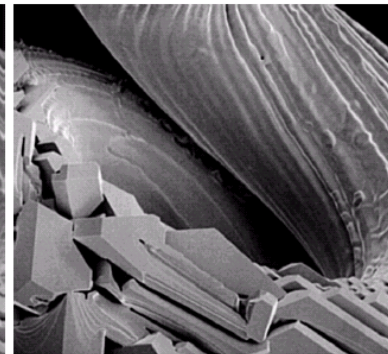


(۳)
تصویر گرفته شده
با میکروسکوپ الکترونی

(۴)
حاصل فیلتر کردن
با ماسک (۱)



(۵)
حاصل فیلتر کردن
با ماسک (۲)
(تیز تر است)



فیلترهای مکانی تیز کننده

غیر تیز سازی و فیلترینگ های بوست

UNSHARP MASKING AND HIGHBOOST FILTERING

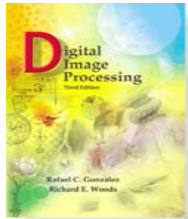
$$g_{\text{mask}}(x, y) = f(x, y) - \bar{f}(x, y)$$

$$g(x, y) = f(x, y) + k \cdot g_{\text{mask}}(x, y)$$

۱) تصویر اصلی را مات می کنیم

۲) تصویر مات شده را از تصویر اصلی تفریق می کنیم (حاصل: ماسک)

۳) ماسک را به تصویر اصلی می افزاییم.



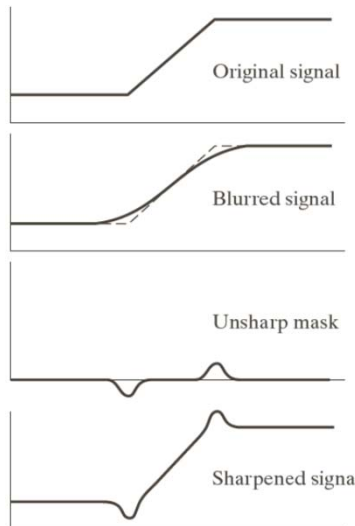
Digital Image Processing, 3rd ed.

Gonzalez & Woods

www.ImageProcessingPlace.com

Chapter 3

Intensity Transformations & Spatial Filtering



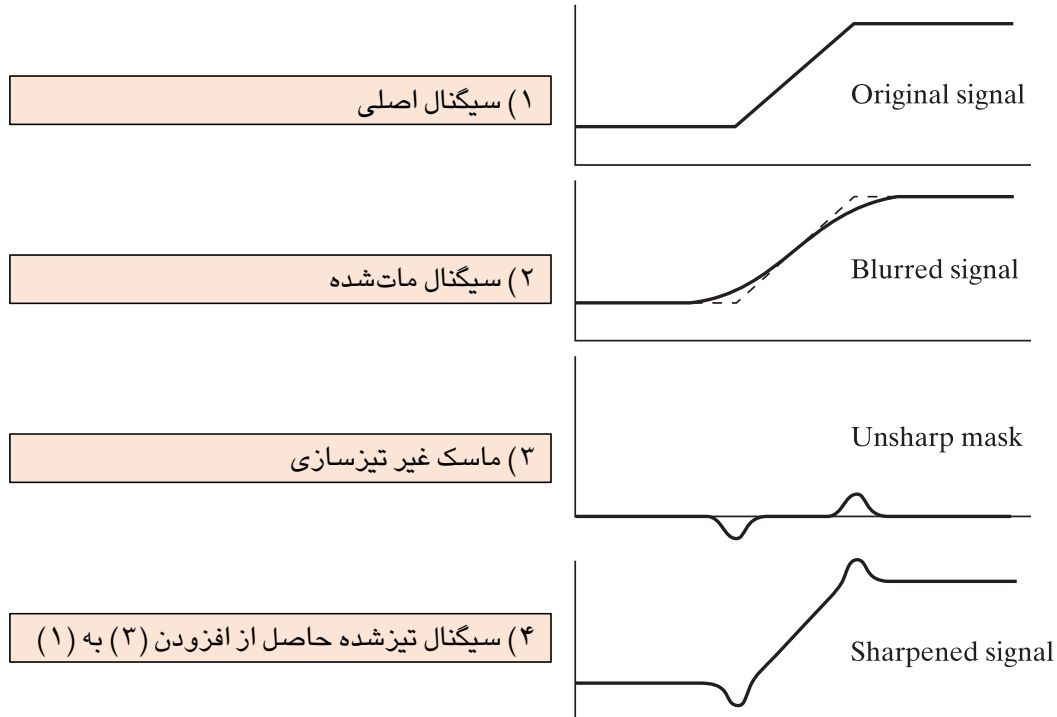
a
b
c
d

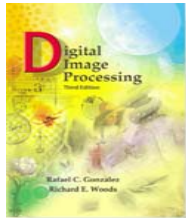
FIGURE 3.39 1-D illustration of the mechanics of unsharp masking.
(a) Original signal. (b) Blurred signal with original shown dashed for reference. (c) Unsharp mask. (d) Sharpened signal, obtained by adding (c) to (a).

فیلترهای مکانی تیز کننده

غیر تیز سازی: برای یک سیگنال یک بعدی

UNSHARP MASKING AND HIGHBOOST FILTERING





Digital Image Processing, 3rd ed.

Gonzalez & Woods

www.ImageProcessingPlace.com

Chapter 3

Intensity Transformations & Spatial Filtering



a
b
c
d
e

FIGURE 3.40
(a) Original image.
(b) Result of blurring with a Gaussian filter.
(c) Unsharp mask.
(d) Result of using unsharp masking.
(e) Result of using highboost filtering.

فیلترهای مکانی تیز کننده

غیر تیز سازی : مثال

UNSHARP MASKING AND HIGHBOOST FILTERING

۱) تصویر اصلی



۲) نتیجهٔ ماتسازی با یک فیلتر گاوی



۳) ماسک غیر تیز کننده



۴) حاصل استفاده از ماسک غیر تیز کننده



۵) حاصل استفاده از فیلترهای بوست با $k = 4.5$



فیلترهای مکانی تیز کننده

استفاده از مشتقات اول برای بهسازی: گرادیان

USE OF FIRST DERIVATIVES FOR ENHANCEMENT: THE GRADIENT

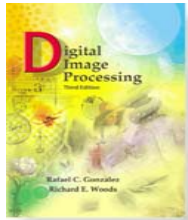
گرادیان تابع f در مختصات (x,y) به صورت یک بردار ستونی دو بعدی تعریف می شود:

$$\nabla \mathbf{f} = \begin{bmatrix} G_x \\ G_y \end{bmatrix} = \begin{bmatrix} \frac{\partial f}{\partial x} \\ \frac{\partial f}{\partial y} \end{bmatrix}$$

اندازه بردار گرادیان عبارت است از:

$$\nabla f = \text{mag}(\nabla \mathbf{f}) = \left[G_x^2 + G_y^2 \right]^{\frac{1}{2}} = \left[\left(\frac{\partial f}{\partial x} \right)^2 + \left(\frac{\partial f}{\partial y} \right)^2 \right]^{\frac{1}{2}}$$

$$\nabla f \approx |G_x| + |G_y|$$



Digital Image Processing, 3rd ed.

Gonzalez & Woods

www.ImageProcessingPlace.com

Chapter 3

Intensity Transformations & Spatial Filtering

z_1	z_2	z_3
z_4	z_5	z_6
z_7	z_8	z_9

-1	0	0	-1
0	1	1	0

-1	-2	-1	-1	0	1
0	0	0	-2	0	2
1	2	1	-1	0	1

a
b
c
d e

FIGURE 3.41

A 3×3 region of an image (the z s are intensity values).
(b)-(c) Roberts cross gradient operators.
(d)-(e) Sobel operators. All the mask coefficients sum to zero, as expected of a derivative operator.

فیلترهای مکانی تیز کننده

استفاده از مشتقات اول برای بهسازی: گرادیان

USE OF FIRST DERIVATIVES FOR ENHANCEMENT: THE GRADIENT

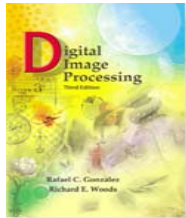
z_1	z_2	z_3
z_4	z_5	z_6
z_7	z_8	z_9

-1	0	0	-1
0	1	1	0

Roberts cross-gradient operators

-1	-2	-1	-1	0	1
0	0	0	-2	0	2
1	2	1	-1	0	1

Sobel operators



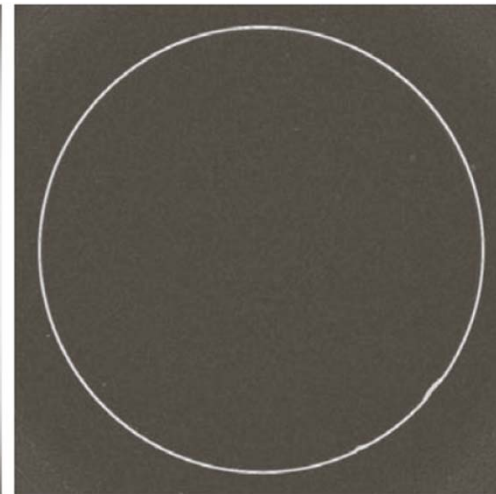
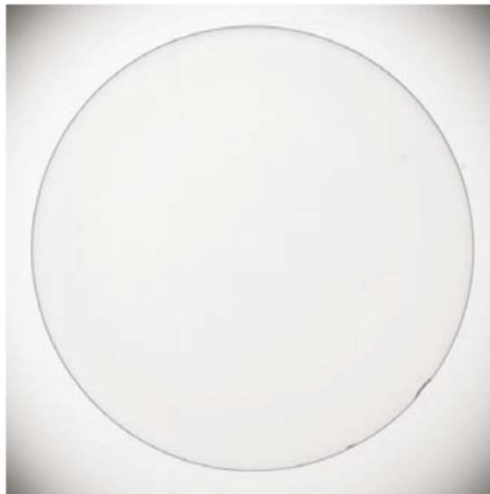
Digital Image Processing, 3rd ed.

Gonzalez & Woods

www.ImageProcessingPlace.com

Chapter 3

Intensity Transformations & Spatial Filtering



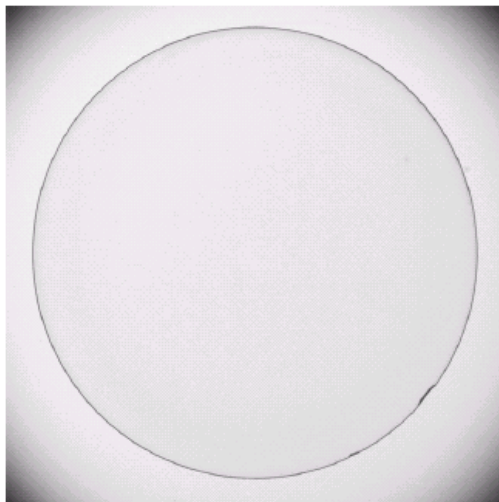
a b

FIGURE 3.42
(a) Optical image of contact lens (note defects on the boundary at 4 and 5 o'clock).
(b) Sobel gradient.
(Original image courtesy of Pete Sites, Perceptics Corporation.)

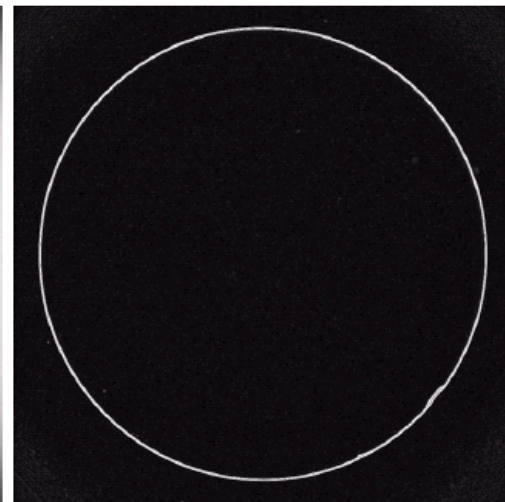
فیلترهای مکانی تیز کننده

استفاده از مشتقات اول برای بهسازی: گرادیان: استفاده از عملگرهای سوبل

USE OF FIRST DERIVATIVES FOR ENHANCEMENT: THE GRADIENT: USING SOBEL OPERATORS



(۱)
تصویر اپتیکی از لنزهای تماسی

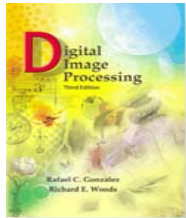


(۲)
گرادیان سوبل

فیلتر کردن در حوزه‌ی مکان

۴

ترکیب روش‌های به‌سازی مکانی



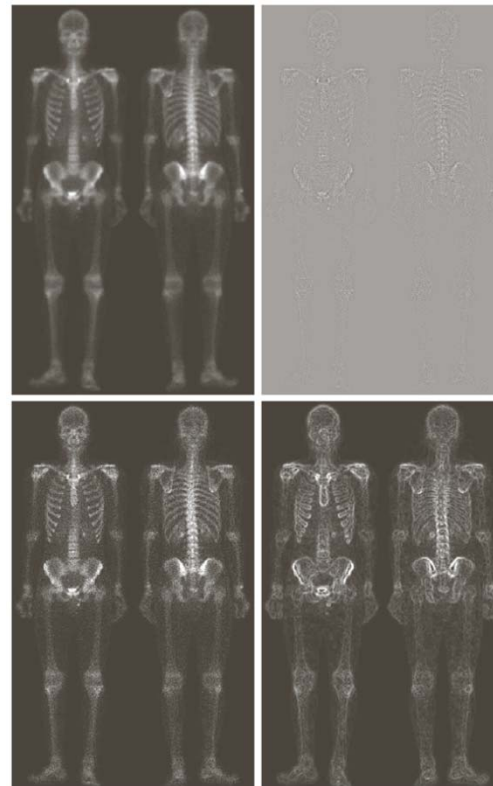
Digital Image Processing, 3rd ed.

Gonzalez & Woods

www.ImageProcessingPlace.com

Chapter 3

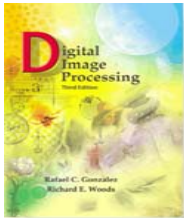
Intensity Transformations & Spatial Filtering



a
b
c
d

FIGURE 3.43

(a) Image of whole body bone scan.
(b) Laplacian of (a).
(c) Sharpened image obtained by adding (a) and (b).
(d) Sobel gradient of (a).



Digital Image Processing, 3rd ed.

Gonzalez & Woods

www.ImageProcessingPlace.com

Chapter 3

Intensity Transformations & Spatial Filtering

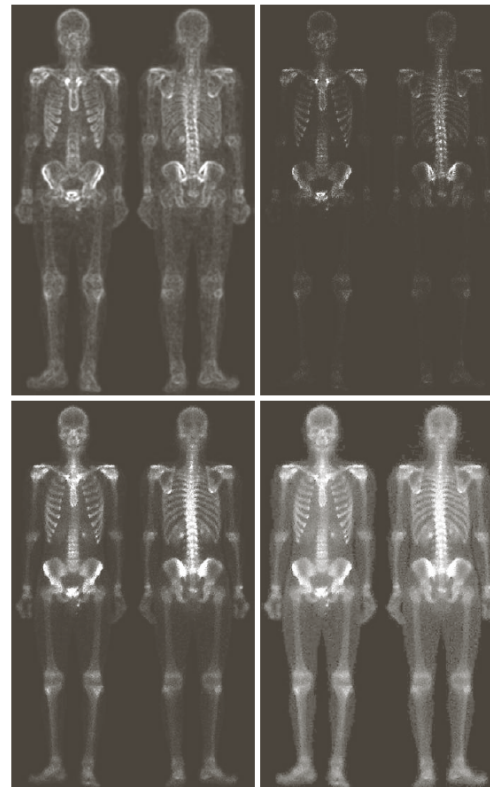


FIGURE 3.43

(Continued)

(e) Sobel image smoothed with a 5×5 averaging filter. (f) Mask image formed by the product of (c) and (e). (g) Sharpened image obtained by the sum of (a) and (f). (h) Final result obtained by applying a power-law transformation to (g). Compare (g) and (h) with (a). (Original image courtesy of G.E. Medical Systems.)

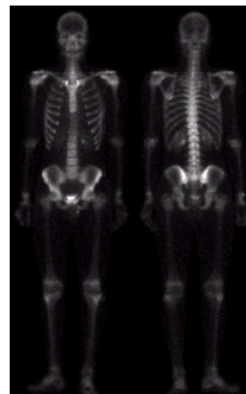
ترکیب روش‌های بهسازی مکانی

مثال (۱ از ۲)

COMBINING SPATIAL ENHANCEMENT METHODS

(۱)

تصویر اسکن ستون فقرات
کل بدن



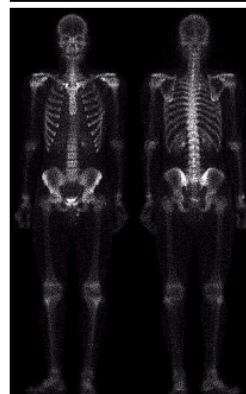
(۲)

لاپلاسین



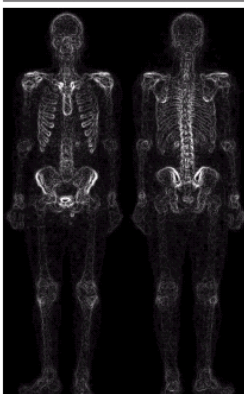
(۳)

تصویر تیز شده حاصل از افزودن
(۱) و (۲)



(۴)

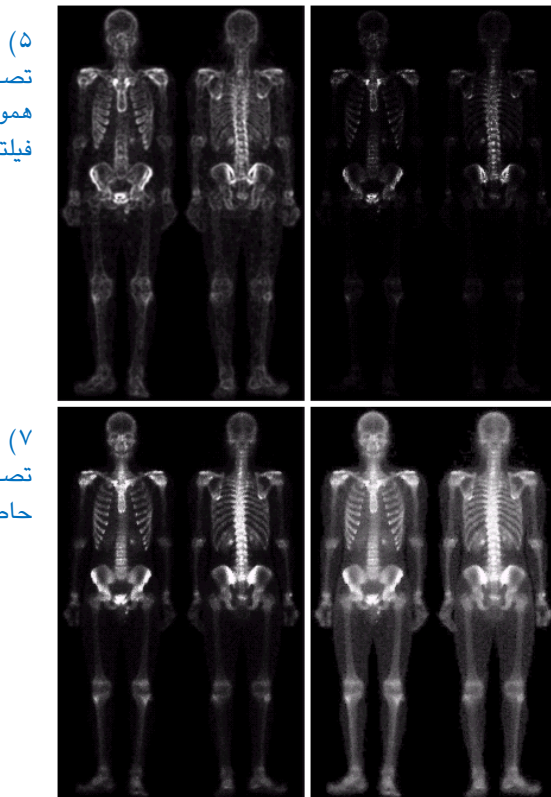
سوبل (۱)



ترکیب روش‌های بهسازی مکانی

مثال (۲ از ۲)

COMBINING SPATIAL ENHANCEMENT METHODS



(۵)

تصویر سوبل
هموار شده با يك
فیلتر متوسط کیری ۵ در ۵

(۶)

تصویر ماسک
تشکيل شده از ضرب
(۳) و (۵)

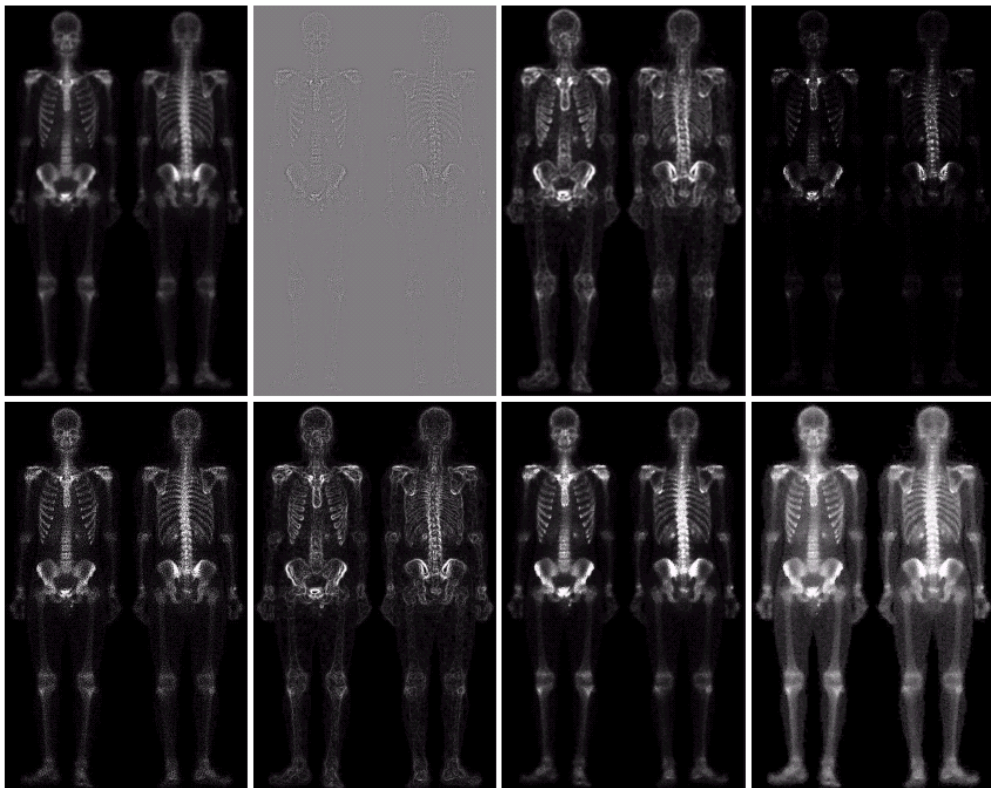
(۷)

تصویر تیز شده
حاصل از جمع (۱) و (۶)

(۸)

تصویر نهايی
حاصل از اعمال تبديل
قانون-تواني

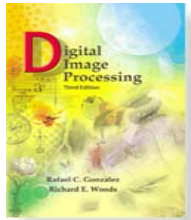
ترکیب روش‌های بهسازی مکانی

COMBINING SPATIAL ENHANCEMENT METHODS

فیلتر کردن در حوزه‌ی مکان

۵

استفاده از
تکنیک‌های
فازی برای
تبديل‌های
شدت رنگ و
فیلتر کردن
مکانی



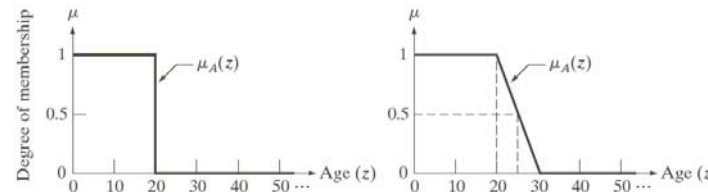
Digital Image Processing, 3rd ed.

Gonzalez & Woods

www.ImageProcessingPlace.com

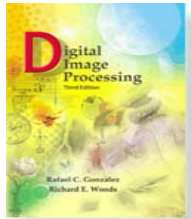
Chapter 3

Intensity Transformations & Spatial Filtering



a b

FIGURE 3.44
Membership functions used to generate (a) a crisp set, and (b) a fuzzy set.



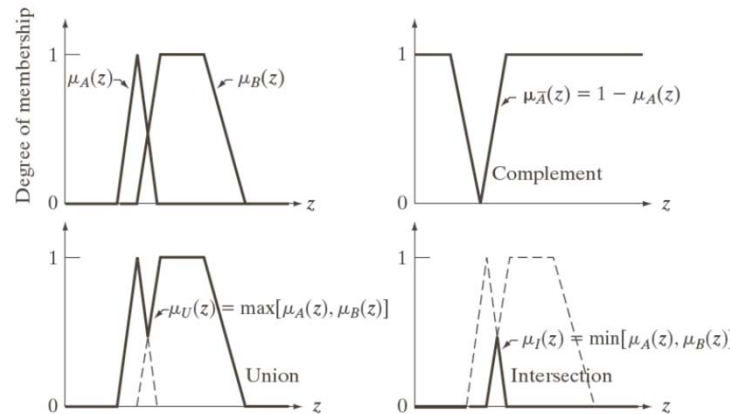
Digital Image Processing, 3rd ed.

Gonzalez & Woods

www.ImageProcessingPlace.com

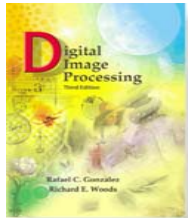
Chapter 3

Intensity Transformations & Spatial Filtering



a
b
c
d

FIGURE 3.45
(a) Membership functions of two sets, A and B . (b) Membership function of the complement of A . (c) and (d) Membership functions of the union and intersection of the two sets.



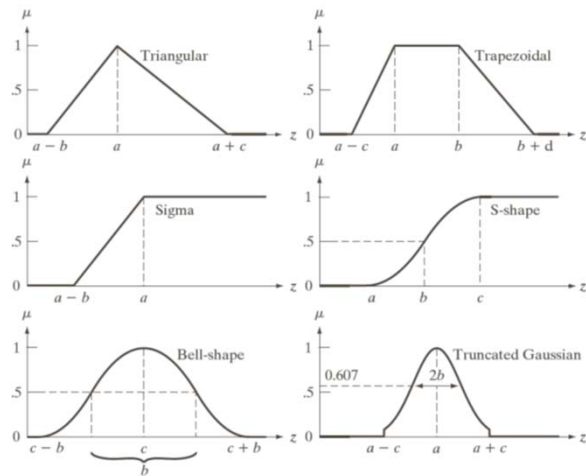
Digital Image Processing, 3rd ed.

Gonzalez & Woods

www.ImageProcessingPlace.com

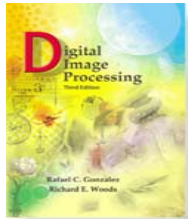
Chapter 3

Intensity Transformations & Spatial Filtering



a b
c d
e f

FIGURE 3.46
Membership functions corresponding to Eqs. (3.8-6)–(3.8-11).



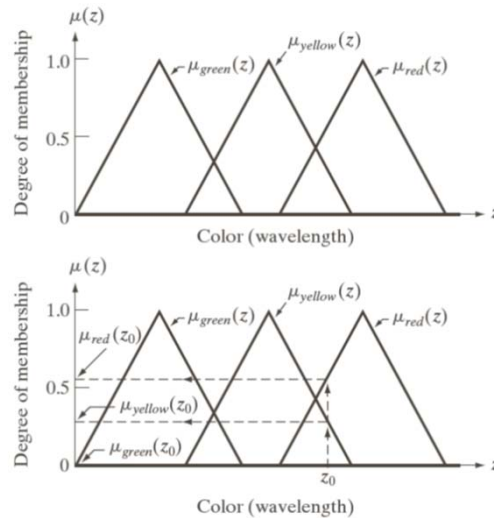
Digital Image Processing, 3rd ed.

Gonzalez & Woods

www.ImageProcessingPlace.com

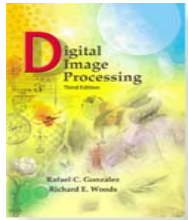
Chapter 3

Intensity Transformations & Spatial Filtering



a
b

FIGURE 3.47
(a) Membership functions used to fuzzify color.
(b) Fuzzifying a specific color z_0 . (Curves describing color sensation are bell shaped; see Section 6.1 for an example. However, using triangular shapes as an approximation is common practice when working with fuzzy sets.)



Digital Image Processing, 3rd ed.

Gonzalez & Woods

www.ImageProcessingPlace.com

Chapter 3

Intensity Transformations & Spatial Filtering

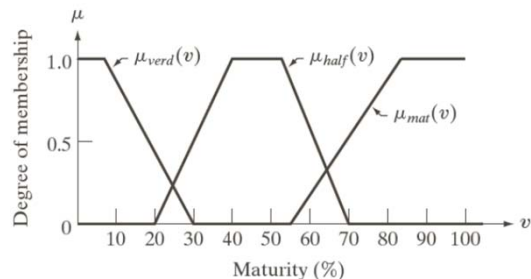
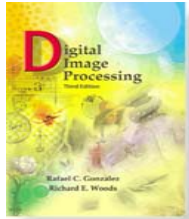


FIGURE 3.48
Membership
functions
characterizing the
outputs *verdant*,
half-mature, and
mature.



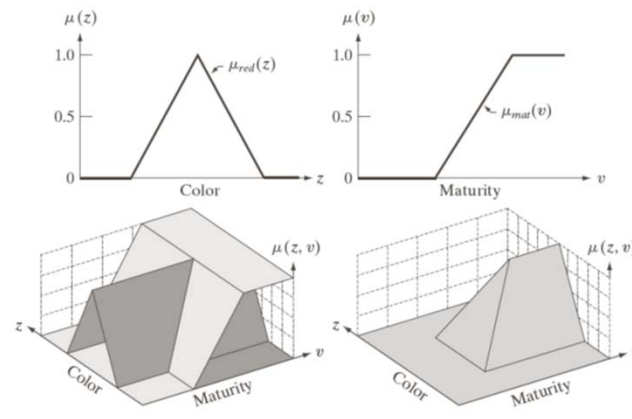
Digital Image Processing, 3rd ed.

Gonzalez & Woods

www.ImageProcessingPlace.com

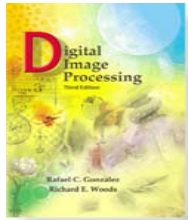
Chapter 3

Intensity Transformations & Spatial Filtering



a
b
c
d

FIGURE 3.49
(a) Shape of the membership function associated with the color red, and
(b) corresponding output membership function. These two functions are associated by rule R_3 .
(c) Combined representation of the two functions. The representation is 2-D because the independent variables in (a) and (b) are different.
(d) The AND of (a) and (b), as defined in Eq. (3.8-5).



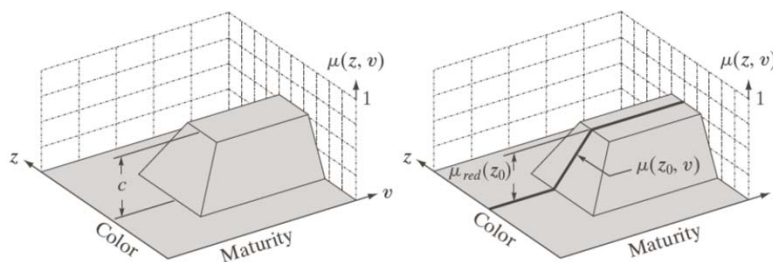
Digital Image Processing, 3rd ed.

Gonzalez & Woods

www.ImageProcessingPlace.com

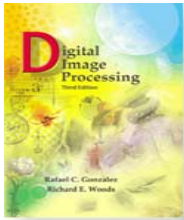
Chapter 3

Intensity Transformations & Spatial Filtering



a b

FIGURE 3.50
(a) Result of computing the minimum of an arbitrary constant, c , and function $\mu_3(z, v)$ from Eq. (3.8-12). The minimum is equivalent to an AND operation.
(b) Cross section (dark line) at a specific color, z_0 .



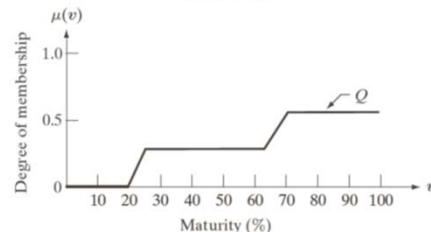
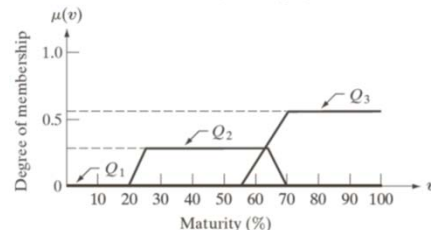
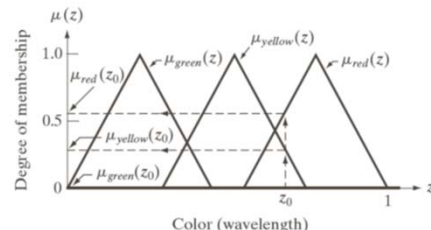
Digital Image Processing, 3rd ed.

Gonzalez & Woods

www.ImageProcessingPlace.com

Chapter 3

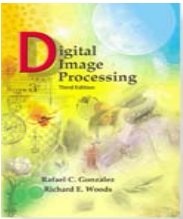
Intensity Transformations & Spatial Filtering



a
b
c

FIGURE 3.51

(a) Membership functions with a specific color, z_0 , selected.
(b) Individual fuzzy sets obtained from Eqs. (3.8-13)–(3.8-15). (c) Final fuzzy set obtained by using Eq. (3.8-16) or (3.8-17).



Digital Image Processing, 3rd ed.

Gonzalez & Woods

www.ImageProcessingPlace.com

Chapter 3

Intensity Transformations & Spatial Filtering

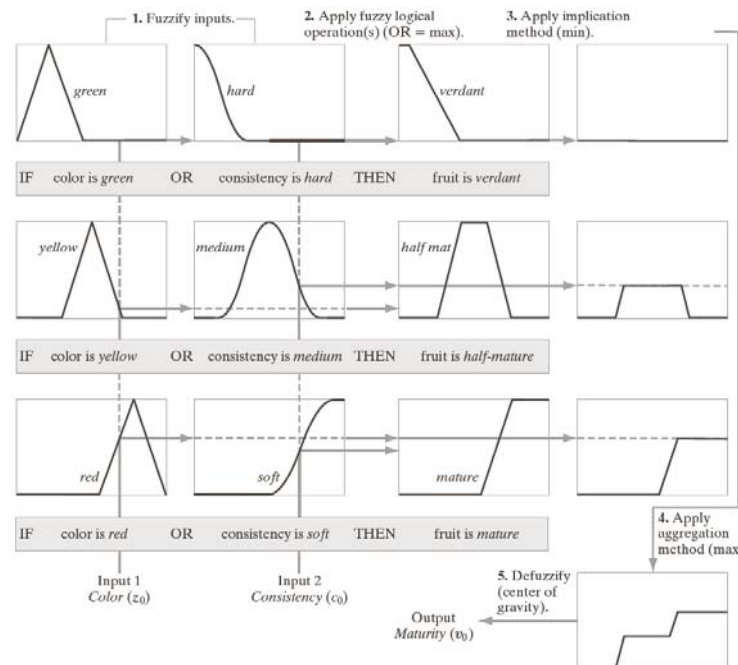
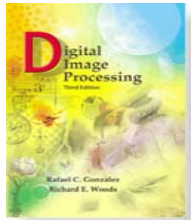


FIGURE 3.52 Example illustrating the five basic steps used typically to implement a fuzzy, rule-based system: (1) fuzzification, (2) logical operations (only OR was used in this example), (3) implication, (4) aggregation, and (5) defuzzification.



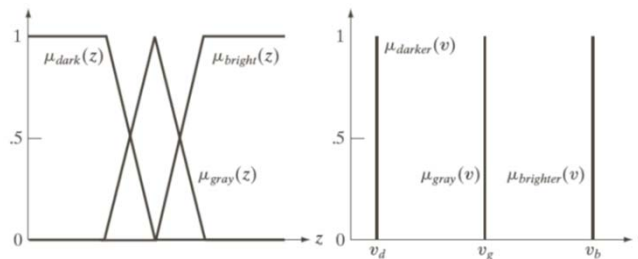
Digital Image Processing, 3rd ed.

Gonzalez & Woods

www.ImageProcessingPlace.com

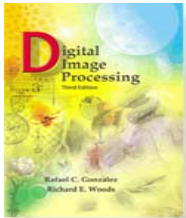
Chapter 3

Intensity Transformations & Spatial Filtering



a b

FIGURE 3.53
(a) Input and
(b) output
membership
functions for
fuzzy, rule-based
contrast
enhancement.



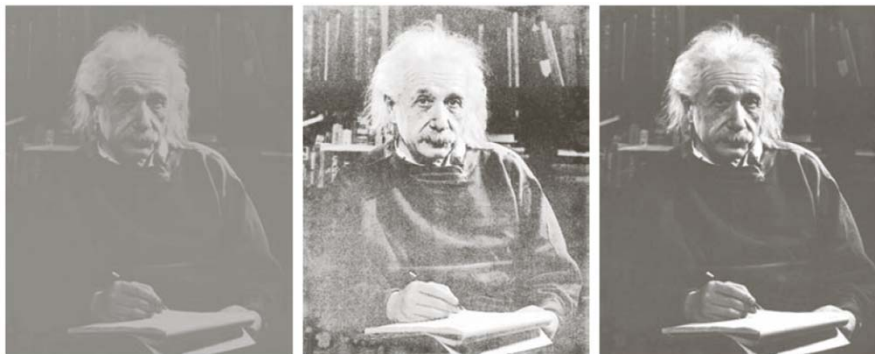
Digital Image Processing, 3rd ed.

Gonzalez & Woods

www.ImageProcessingPlace.com

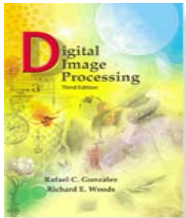
Chapter 3

Intensity Transformations & Spatial Filtering



a b c

FIGURE 3.54 (a) Low-contrast image. (b) Result of histogram equalization. (c) Result of using fuzzy, rule-based contrast enhancement.



Digital Image Processing, 3rd ed.

Gonzalez & Woods

www.ImageProcessingPlace.com

Chapter 3

Intensity Transformations & Spatial Filtering

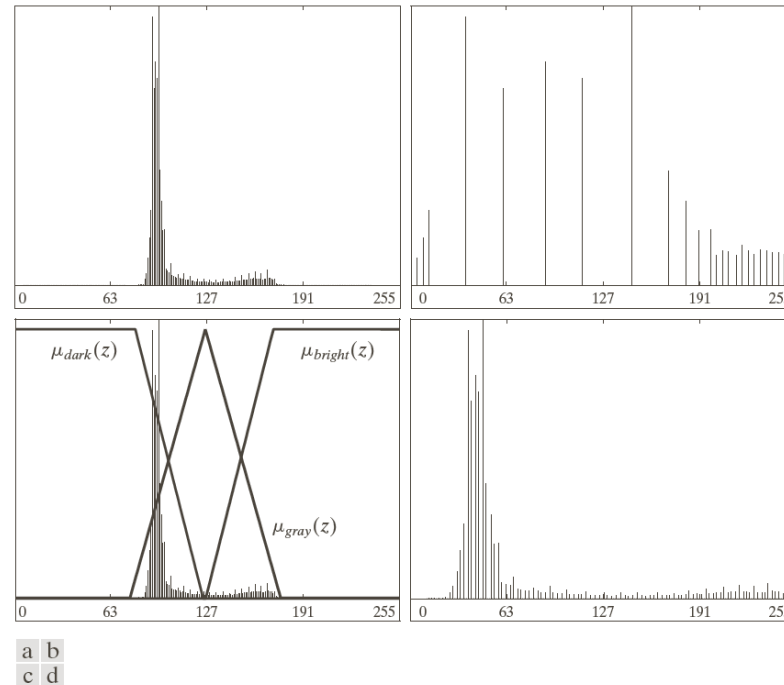
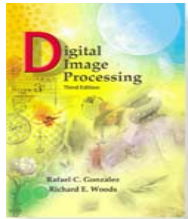


FIGURE 3.55 (a) and (b) Histograms of Figs. 3.54(a) and (b). (c) Input membership functions superimposed on (a). (d) Histogram of Fig. 3.54(c).



Digital Image Processing, 3rd ed.

Gonzalez & Woods

www.ImageProcessingPlace.com

Chapter 3

Intensity Transformations & Spatial Filtering

Figure 3.56(a) displays a 3×3 pixel neighborhood. The central pixel is labeled z_5 . The surrounding pixels are labeled z_1 , z_2 , z_3 , z_4 , z_6 , z_7 , z_8 , and z_9 . Below this diagram is the label "Pixel neighborhood".

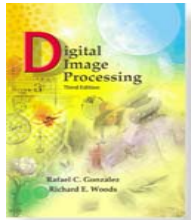
Figure 3.56(b) displays the corresponding intensity differences between the center pixel z_5 and its neighbors. The differences are labeled d_1 , d_2 , d_3 , d_4 , d_6 , d_7 , d_8 , and d_9 . Below this diagram is the label "Intensity differences".

Pixel neighborhood Intensity differences

a **b**

z_1	z_2	z_3	d_1	d_2	d_3
z_4	z_5	z_6	d_4	0	d_6
z_7	z_8	z_9	d_7	d_8	d_9

FIGURE 3.56 (a) A 3×3 pixel neighborhood, and (b) corresponding intensity differences between the center pixels and its neighbors. Only d_2 , d_4 , d_6 , and d_8 were used in the present application to simplify the discussion.



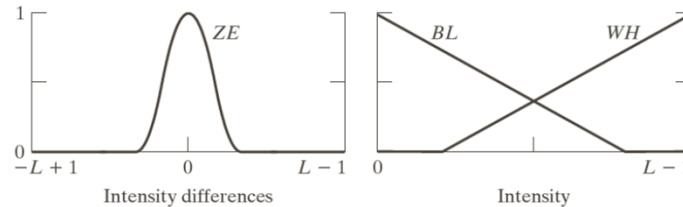
Digital Image Processing, 3rd ed.

Gonzalez & Woods

www.ImageProcessingPlace.com

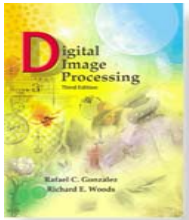
Chapter 3

Intensity Transformations & Spatial Filtering



a b

FIGURE 3.57
(a) Membership function of the fuzzy set *zero*.
(b) Membership functions of the fuzzy sets *black* and *white*.



Digital Image Processing, 3rd ed.

Gonzalez & Woods

www.ImageProcessingPlace.com

Chapter 3

Intensity Transformations & Spatial Filtering

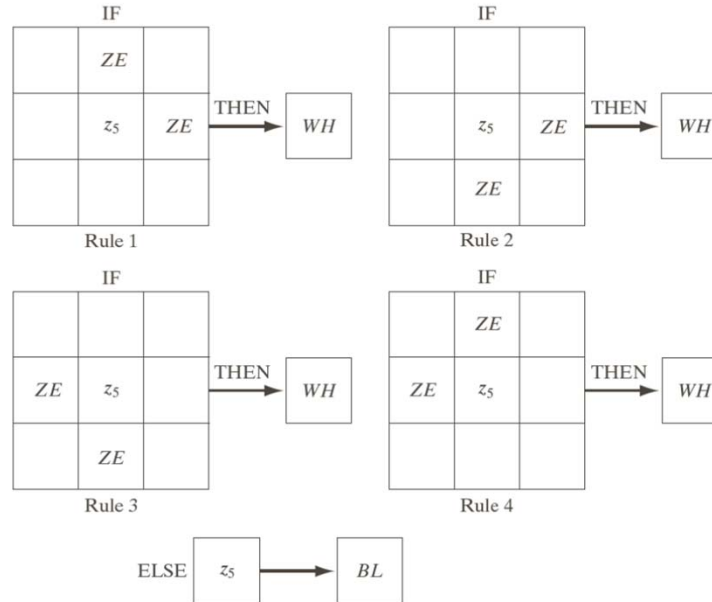
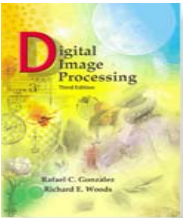


FIGURE 3.58
Fuzzy rules for
boundary
detection.



Digital Image Processing, 3rd ed.

Gonzalez & Woods

www.ImageProcessingPlace.com

Chapter 3

Intensity Transformations & Spatial Filtering

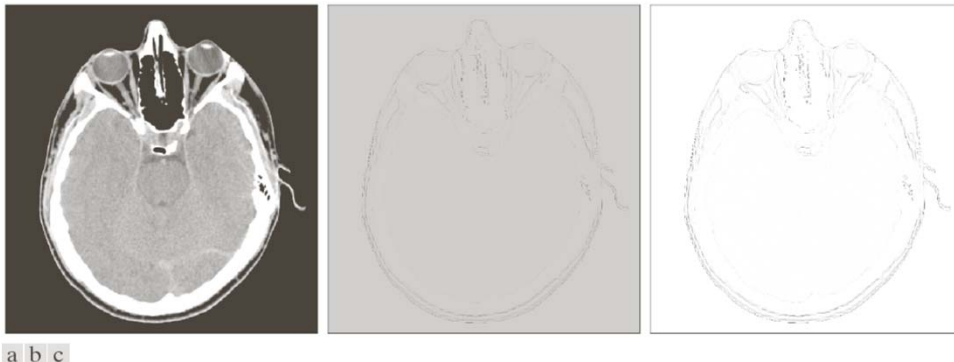


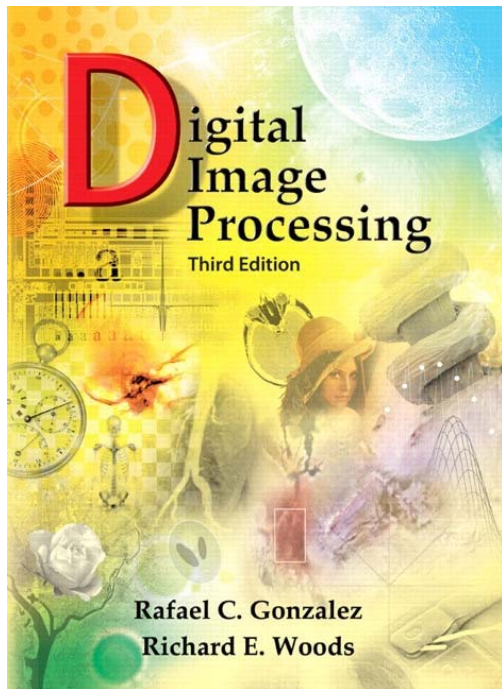
FIGURE 3.59 (a) CT scan of a human head. (b) Result of fuzzy spatial filtering using the membership functions in Fig. 3.57 and the rules in Fig. 3.58. (c) Result after intensity scaling. The thin black picture borders in (b) and (c) were added for clarity; they are not part of the data. (Original image courtesy of Dr. David R. Pickens, Vanderbilt University.)

فیلتر کردن در حوزه‌ی مکان

۵

منابع

منبع اصلی



Rafael C. Gonzalez, Richard E. Woods,
Digital Image Processing,
Third Edition, Pearson Prentice Hall, 2008.
Chapter 3 (3-4 .. 3-8)